

数学基础

1、像指数一样：幂的相加的拆分

$$e^{j(\alpha+\beta)} = e^{j\alpha} e^{j\beta}$$

证明：

$$\begin{aligned} e^{j\alpha} e^{j\beta} &= (\cos \alpha + j \sin \alpha)(\cos \beta + j \sin \beta) \\ &= \cos \alpha \cos \beta - \sin \alpha \sin \beta + j(\sin \alpha \cos \beta + \cos \alpha \sin \beta) \\ &= \cos(\alpha + \beta) + j \sin(\alpha + \beta) \\ &= e^{j(\alpha+\beta)} \end{aligned}$$

理解：半径为 1 的转子处于 $(\alpha + \beta)$ 的角度，等价于其旋转到 α 角度后，再继续旋转到 β 角度。

对于一个坐标为 (x, y) 的点，逆时针旋转 α ，可以写成如下矩阵形式：

$$\begin{pmatrix} x' \\ y' \end{pmatrix} = \begin{pmatrix} \cos \alpha & -\sin \alpha \\ \sin \alpha & \cos \alpha \end{pmatrix} \begin{pmatrix} x \\ y \end{pmatrix}$$

也可以表示成：

$$(x', y') = (x \cos \alpha - y \sin \alpha, x \sin \alpha + y \cos \alpha)$$

复数化：

$$\begin{aligned} x' + jy' &= x \cos \alpha - y \sin \alpha + j(x \sin \alpha + y \cos \alpha) \\ &= (\cos \alpha + j \sin \alpha)(x + jy) \\ &= e^{j\alpha} (x + jy) \end{aligned}$$

另外：转到 α 角度，再旋转 β 角度，也可以写成：

$$\begin{aligned} \begin{pmatrix} x' \\ y' \end{pmatrix} &= \begin{pmatrix} \cos \beta & -\sin \beta \\ \sin \beta & \cos \beta \end{pmatrix} \begin{pmatrix} \cos \alpha & -\sin \alpha \\ \sin \alpha & \cos \alpha \end{pmatrix} \begin{pmatrix} x \\ y \end{pmatrix} \\ &= \begin{pmatrix} \cos \alpha \cos \beta - \sin \alpha \sin \beta & -\sin \alpha \cos \beta - \cos \alpha \sin \beta \\ \cos \alpha \sin \beta + \sin \alpha \cos \beta & -\sin \alpha \sin \beta + \cos \alpha \cos \beta \end{pmatrix} \begin{pmatrix} x \\ y \end{pmatrix} \\ &= \begin{pmatrix} \cos(\alpha + \beta) & -\sin(\alpha + \beta) \\ \sin(\alpha + \beta) & \cos(\alpha + \beta) \end{pmatrix} \begin{pmatrix} x \\ y \end{pmatrix} \end{aligned}$$

即：

$$\begin{aligned}x' + jy' &= e^{j\beta} e^{j\alpha} (x + jy) \\&= e^{j(\alpha+\beta)} (x + jy)\end{aligned}$$

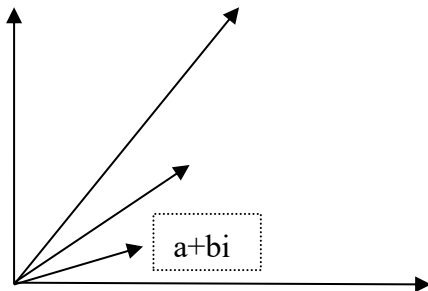
推论：

$$e^{j\alpha\beta} = e^{j\alpha} \dots e^{j\alpha} \text{ (共 } \beta \text{ 个项相乘)} = (e^{j\alpha})^\beta = w^\beta$$

2 两个复数相乘的几何含义

$$(a+bi)(c+di) = ac-bd + (ad+bc)i$$

其结果向量（复数）是：模（或长度）为两个复数对应的向量的长度乘积，角度为两者的角度相加。相当于将一个向量逆时针旋转另一个向量的角度，且将长度延长另一个向量的倍数。



设： $a+bi$ 对应的向量长度为 r_1 , 角度为 α

$c+di$ 对应的向量长度为 r_2 , 角度为 β

$$\begin{aligned}r_1 r_2 \cos(\alpha + \beta) &= r_1 r_2 \cos \alpha \cos \beta - r_1 r_2 \sin \alpha \sin \beta \\&= ac - bd\end{aligned}$$

$$\begin{aligned}r_1 r_2 \sin(\alpha + \beta) &= r_1 r_2 \sin \alpha \cos \beta + r_1 r_2 \cos \alpha \sin \beta \\&= ad + bc\end{aligned}$$

由此：在傅里叶变换与卷积对应的关系中有： $F=G.*H$

对于 F 中的一个（点）值，其分解对应的 G 、 H 中的值具有不定性。

信号的分解与复原

程序：fft_ifft.m

理论: $F(u) = \sum_{x=0}^{N-1} f(x)e^{-j2\pi ux/N}$

因此: $F(u)$ 的实部 是 $f(x)$ 与 余弦函数 $\cos(2\pi ux/N)$ 的点积

$F(u)$ 的虚部 是 $f(x)$ 与 正弦函数 $-\sin(2\pi ux/N)$ 的点积

反傅里叶变换时:

$$f(x) = \frac{1}{N} \sum_{u=0}^{N-1} F(u)e^{j2\pi ux/N}$$

对于一个给定的 u , 其对应的时域信号为:

$$\begin{aligned} & F(u)[\cos(2\pi ux/N) + j\sin(2\pi ux/N)] \\ &= [a + jb][\cos(2\pi ux/N) + j\sin(2\pi ux/N)] \\ &= a\cos(2\pi ux/N) - b\sin(2\pi ux/N) \\ &+ j[a\sin(2\pi ux/N) + b\cos(2\pi ux/N)] \end{aligned}$$

注意: 考虑 $F(u)$ 与 $F(N-u)$ 的共轭性, 它们的对应的信号的虚部正好抵消, 实部相同。因此, 可只计算实部的叠加。

$$\begin{aligned} & a\cos(2\pi ux/N) - b\sin(2\pi ux/N) \\ &= \sqrt{a^2 + b^2} \left[\frac{a}{\sqrt{a^2 + b^2}} \cos(2\pi ux/N) - \frac{b}{\sqrt{a^2 + b^2}} \sin(2\pi ux/N) \right] \\ &= |F(u)| [\cos(2\pi ux/N) \cos \theta - \sin(2\pi ux/N) \sin \theta] \\ &= |F(u)| \cos(2\pi ux/N + \theta) \end{aligned}$$

θ 为初始相位。

特别注意: $\theta \neq \arctg \frac{b}{a}$

因为: \arctg 的结果是在 $-\pi/2 \sim \pi/2$ 之间。而初相位是在 $0 \sim 2\pi$ (or $-\pi \sim \pi$)。

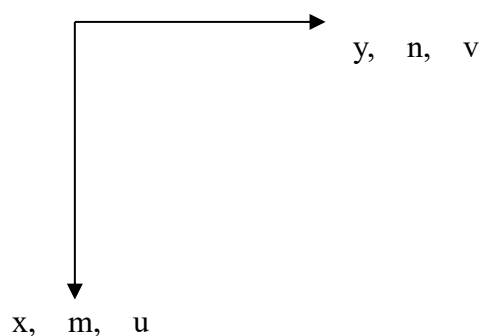
因此, 直接使用 $\theta = \arctg \frac{b}{a}$ 可能得不到正确结果。 $\arctg \frac{b}{a} = \arctg \frac{-b}{-a}$, 但两者相位应相差 π 。

故在 a 小于 0 时, 相位要加上 π 。

傅里叶变换的基本性质

1、函数平移前后的傅里叶变换的关系

$$f(x-x_0, y-y_0) \Leftrightarrow F(u, v) e^{-j2\pi(ux_0/M + vy_0/N)}$$



证明：

$$f(x, y) \Leftrightarrow F(u, v)$$

$$\text{令 } g(x, y) = f(x-x_0, y-y_0)$$

$$\begin{aligned} G(u, v) &= \sum_{x=0}^{M-1} \sum_{y=0}^{N-1} g(x, y) e^{-j2\pi(ux/M + vy/N)} \\ &= \sum_{x=0}^{M-1} \sum_{y=0}^{N-1} f(x-x_0, y-y_0) e^{-j2\pi(ux/M + vy/N)} \end{aligned}$$

$$\text{令 } x-x_0 = \alpha \quad y-y_0 = \beta$$

则上式变为：

$$\begin{aligned} & \sum_{\alpha=-x_0}^{M-1-x_0} \sum_{\beta=-y_0}^{N-1-y_0} f(\alpha, \beta) e^{-j2\pi(u(\alpha+x_0)/M + v(\beta+y_0)/N)} \\ &= \sum_{\alpha=-x_0}^{M-1-x_0} \sum_{\beta=-y_0}^{N-1-y_0} f(\alpha, \beta) e^{-j2\pi(u\alpha/M + v\beta/N)} e^{-j2\pi(ux_0/M + vy_0/N)} \\ &= e^{-j2\pi(ux_0/M + vy_0/N)} \sum_{\alpha=-x_0}^{M-1-x_0} \sum_{\beta=-y_0}^{N-1-y_0} f(\alpha, \beta) e^{-j2\pi(u\alpha/M + v\beta/N)} \\ &= e^{-j2\pi(ux_0/M + vy_0/N)} F(u, v) \end{aligned}$$

注： $f(x, y)$ 是周期函数，故从何处开始并不重要，关键是选一个周期即可。

实验程序：见 `fft_funshift.m`

```
I=imread('rice.png');
```

```
I=double(I);
```

```

F=fft2(I);
% 图像向右平移 10 个像素，是循环右移，相当于在 y 方向变化
J=circshift(I,[0 10]);
figure,imshow(J,[])
figure,imshow(I,[])
FS=fft2(J);
[v,u]=meshgrid(0:255,0:255);
Q=exp(-j*2*pi*v*10/256);
FF1=F.*Q;
D=FF1-FS;
t=max(abs(D(:)))

```

2、频率位移

$$f(x, y)e^{j2\pi(u_0x/M+v_0y/N)} \Leftrightarrow F(u-u_0, v-v_0)$$

证明：

$$\begin{aligned}
& f(x, y)e^{j2\pi(u_0x/M+v_0y/N)} \Leftrightarrow \\
& \sum \sum f(x, y)e^{j2\pi(u_0x/M+v_0y/N)} e^{-j2\pi(ux/M+vy/N)} \\
& = \sum \sum f(x, y)e^{-j2\pi((u-u_0)x/M+(v-v_0)y/N)} \\
& \Leftrightarrow F(u-u_0, v-v_0)
\end{aligned}$$

3、图像旋转前、后，傅里叶系数之间的关系

先看一种特殊情况，即旋转 180 度。

设 $f(x, y)$ 为 $M \times N$ 的图像， $x=0, \dots, M-1$, $y=0, \dots, N-1$

旋转后的图像为 $g(x, y)$ ，有 $g(x, y)=f(M-1-x, N-1-y)$

$$\begin{aligned}
 G(u, v) &= \sum_{x=0}^{M-1} \sum_{y=0}^{N-1} g(x, y) e^{-j2\pi(ux/M + vy/N)} \\
 &= \sum_{x=0}^{M-1} \sum_{y=0}^{N-1} f(M-1-x, N-1-y) e^{-j2\pi(ux/M + vy/N)}
 \end{aligned}$$

$$\text{令 } p = M-1-x, \quad q = N-1-y$$

$$x=0, \dots, M-1 \Rightarrow p=M-1 \dots 0; \quad y=0, \dots, N-1 \Rightarrow q=N-1 \dots 0$$

$$x=M-1-p \quad y=N-1-q$$

$$\begin{aligned}
 G(u, v) &= \sum_{p=M-1}^0 \sum_{q=N-1}^0 f(p, q) e^{-j2\pi(u(M-1-p)/M + v(N-1-q)/N)} \\
 &= \sum_{p=M-1}^0 \sum_{q=N-1}^0 f(p, q) e^{j2\pi(up/M + vq/N)} e^{j2\pi(u/M + v/N)} \\
 &= \text{conj}(F(u, v)) e^{j2\pi(u/M + v/N)}
 \end{aligned}$$

实验验证：

```

I=imread('cameraman.tif');
I=im2double(I);
F=fft2(I);
R=imrotate(I,180);
RF=fft2(R);
[v,u]=meshgrid(0:255,0:255);
W=exp(j*2*pi*(u+v)/256);
Result=conj(F).*W;
% 比较 Result 与 RF 是否相同

```

4、傅里叶系数的共扼复数的反变换与原图像之间的关系

$$F(u, v) = \sum_{x=0}^{M-1} \sum_{y=0}^{N-1} f(x, y) e^{-j2\pi(ux/M + vy/N)}$$

$$\text{若: } g(x, y) = f(M - x, N - y)$$

$$\text{令: } p = M - x, \quad q = N - y$$

$$\begin{aligned} G(u, v) &= \sum_{x=0}^{M-1} \sum_{y=0}^{N-1} g(x, y) e^{-j2\pi(ux/M + vy/N)} \\ &= \sum_{x=0}^{M-1} \sum_{y=0}^{N-1} f(M - x, N - y) e^{-j2\pi(ux/M + vy/N)} \\ &= \sum_{p=M}^1 \sum_{q=N}^1 f(p, q) e^{-j2\pi(u(M-p)/M + v(N-q)/N)} \\ &= \sum_{p=M}^1 \sum_{q=N}^1 f(p, q) e^{j2\pi(up/M + vq/N)} \\ &= \sum_{p=1}^M \sum_{q=1}^N f(p, q) e^{j2\pi(up/M + vq/N)} \\ &= \sum_{p=0}^{M-1} \sum_{q=0}^{N-1} f(p, q) e^{j2\pi(up/M + vq/N)} \\ &= \text{conj}(F(u, v)) \end{aligned}$$

注意，上式成立，要求 $f(p, N) = f(p, 0)$ ；对于任意的 p

$F(M, q) = f(0, q)$ ；对于任意的 q 。

从变换图像的比较来看， $g(x, y) = f(M - x, N - y)$

相当于图像绕中心旋转了 180 度，然后向右一列、向下平移一行的结果。（是循环移动）

在计算图像做自相关系数时，就应该是 $\text{fft2}(F * \text{conj}(F))$ ，取结果的第 0 行（或者前几行）。（自相关是 $f * f$ ，（imfilter），即 $f * f$ 的反（conv），）

$r(x, y)$ 表示将一幅图像平移 (x, y) 像素后，与原始图像的乘积。只考虑水平平移关系时，就只用考虑 r 的第一行，其列坐标值对应平移的像素数。

5、高斯函数的傅里叶系数仍是高斯的

$$g(x) = \frac{1}{\sqrt{2\pi}\sigma} e^{-\frac{x^2}{2\sigma^2}}$$

$$G(u) = \int_{-\infty}^{\infty} g(x) e^{-j2\pi ux} dx$$

$$= \frac{1}{\sqrt{2\pi}\sigma} \int_{-\infty}^{\infty} e^{-\frac{x^2}{2\sigma^2}} e^{-j2\pi ux} dx$$

$$= \frac{1}{\sqrt{2\pi}\sigma} \int_{-\infty}^{\infty} e^{-\frac{x^2}{2\sigma^2} - j2\pi ux} dx$$

$$= \frac{1}{\sqrt{2\pi}\sigma} \int_{-\infty}^{\infty} e^{-\left(\frac{x}{\sqrt{2}\sigma} + j\sqrt{2}\sigma\pi u\right)^2 - 2\sigma^2\pi^2 u^2} dx$$

$$= \frac{1}{\sqrt{2\pi}\sigma} e^{-2\sigma^2\pi^2 u^2} \int_{-\infty}^{\infty} e^{-\left(\frac{x}{\sqrt{2}\sigma} + j\sqrt{2}\sigma\pi u\right)^2} dx$$

$$\text{令: } y = \frac{x}{\sqrt{2}\sigma} + j\sqrt{2}\sigma\pi u$$

上式积分变为:

$$\begin{aligned} & \frac{1}{\sqrt{2\pi}\sigma} e^{-2\sigma^2\pi^2 u^2} \int_{-\infty}^{\infty} e^{-y^2} \sqrt{2}\sigma dy \\ & = e^{-2\sigma^2\pi^2 u^2} \end{aligned}$$

6、频域的卷积与空域的乘积

% 理解 $f(x, y) \otimes h(x, y) \Leftrightarrow F(u, v) \otimes H(u, v)$

```
I=im2double(imread('rice.png'));
```

```
J=im2double(imread('cameraman.tif'));
```

```
IJ=I.*J;
```

```
FI=fft2(I);
```

```
FJ=imrotate(fft2(J),180);
```

```
FC=imfilter(FI,FJ,'circular');
```



```

IFC=ifft2(FC);
T=abs(IFC)/(size(I,1)*size(I,2));
figure,imshow(T,[]);
figure,imshow(IJ);
D=T-IJ;
max(D(:))    % 最后的差距非常小
min(D(:))

```

第四章 频率域图像增强的理解

P120

一个恰当的比喻是将傅里叶变换比作一个玻璃棱镜。棱镜是可以将光分成不同颜色成分的物理仪器，每个成分的颜色由波长或频率决定。傅里叶变换可以看做“**数学的棱镜**”，将函数基于频率分成不同的成分。

Fourier_120.m

```

% 数字图像处理， 冈萨雷斯， P120
% 一维函数的傅里叶谱

% 解释采样间隔 与频率间隔 的关系  $du = 1/(M * dx)$ 

% 信号持续时间延长一倍，过零点的频率加快 一倍。

M=1024;
K=8;
A=1

x=0:M-1;
f1=zeros(1,M);
f1(1:K)=A;

figure,plot(x,f1),title('singal 1');

f1_shift=f1.*((-1).^x);

```

```
F1=abs(fft(f1_shift));  
figure, plot(x,F1);title('spectrum of signal 1');
```

```
f2=zeros(1,M);  
f2(1:2*K)=A;
```

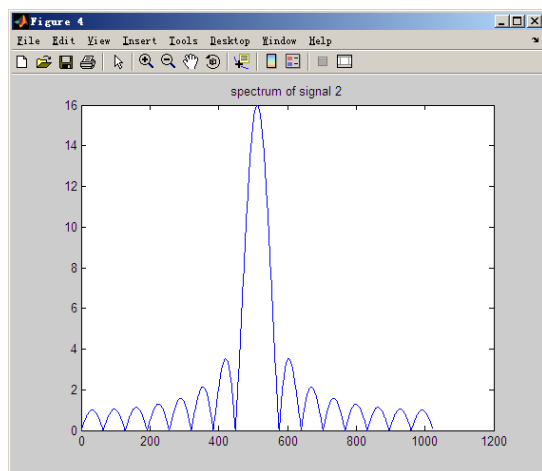
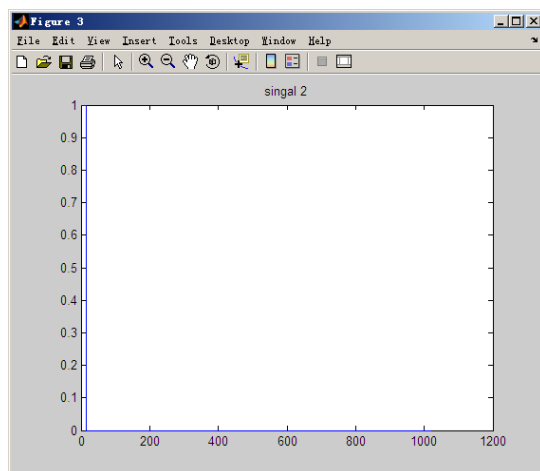
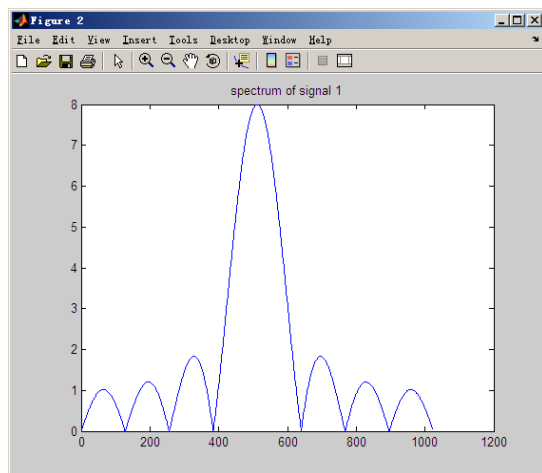
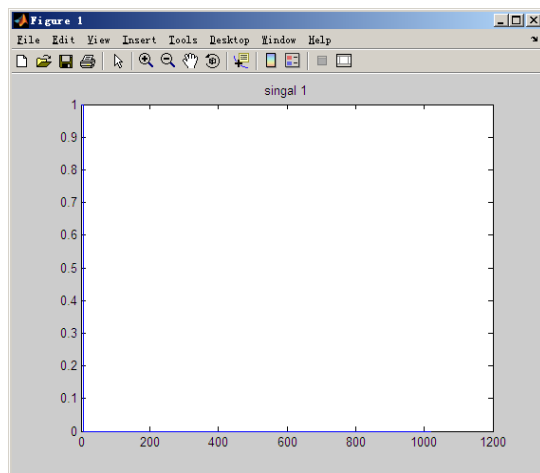
```
figure,plot(x,f2);title('singal 2');
```

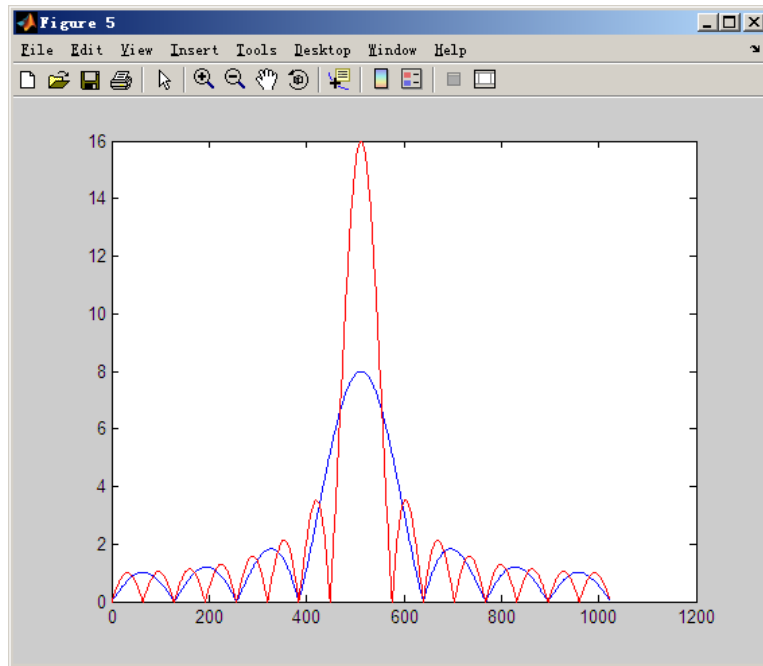
```
f2_shift=f2.*((-1).^x);
```

```
F2=abs(fft(f2_shift));  
figure, plot(x,F2);title('spectrum of signal 2');
```

```
figure,plot(x,F1);hold on; plot(x,F2,'r');
```

运行结果：





理解：

- (1) 红色（信号 2）的中心幅度加倍了。直流信号，或者说信号的平均值加倍了。
- (2) 红色频谱中零点的数量加倍。

$$\Delta u = \frac{1}{M \Delta x}$$

如果说，将信号 2 的抽样步长加大一倍，从其前 16 个点抽出 8 个来，总共抽出 $M/2$ 个点，从而将信号的周期缩短一倍，频率加快 1 倍。从频率抽样的角度看， Δu ，即频率抽样步长缩短一倍。

换一种理解思路。从函数内积的概念来看。振幅是信号在基函数上的投影。当信号为 1 的持续区间内，通过一个完整的周期信号，内积为 0。信号的持续时间长，说明，通过一个低频周期基函数，即频率小的信号，就可以使内积为 0，因而过零点就更靠近中心，过零点的数量就会加倍。

信号的频谱分析：

对于一个正弦信号， $\sin(x)$ ，分析其频谱，理论上应只在一个地方有幅值，而其他地方皆应为 0。实践时，可能出现以下错误，致使结果有偏差。

- (1) 产生的信号不是整周期

当 $X=0:0.1:2*\pi$; $F=\sin(X)$; 产生一个周期的信号

当 $X=0:0.1:2*\pi+\text{len}$; 产生一个长于 2π 周期的函数。若将新函数进行周期性延拓，并不等价于 $\sin x$ 的周期性延拓。

- (2) X 抽样的步长引起的误差。

当 $X=0:0.1:2\pi$ 时，最后的 X 是 6.2

当 $X=0:0.01:2\pi$ 时，最后的 X 是 6.28

- (3) 计算 $\sin(X)$ 等时产生的误差。

P123

二维下

$$\Delta u = \frac{1}{M\Delta x}, \quad \Delta v = \frac{1}{N\Delta y} \text{ 的理解}$$

Fourier_123.m

% 数字图像处理，冈萨雷斯，P123

% 二维 Fourier 变换，显示频率谱图

rows=256;

cols=256;

r_center=rows/2;

c_center=cols/2;

I=zeros(rows,cols);

I1=double(I);

% 产生第一个图像

I1(r_center-10:r_center+9,c_center-20:c_center+19)=255;

figure,imshow(I1,[]);title('image 1');

% 下面生成 $(-1)^{(x+y)}$ 函数

[x,y]=meshgrid(1:cols,1:rows);

Shift=double((-1).^(x+y));

% 原始信号的平移

f1_shift = I1.*Shift;

% FFT 变换

F1=log(abs(fft2(f1_shift)));

figure,imshow(F1,[]);title('spectrum for image 1');

%%
%%

I2=double(I);

% 产生第一个图像

I2(r_center-50:r_center+49,c_center-20:c_center+19)=255;

```
figure,imshow(I2,[]);title('image 2');
```

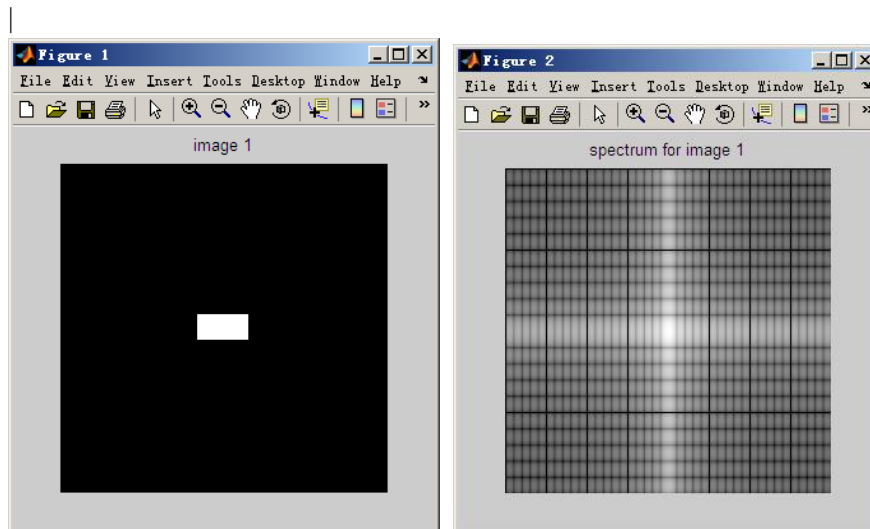
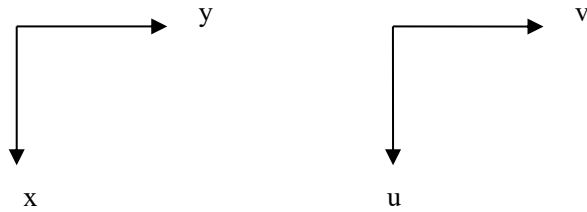
```
% 原始信号的平移
```

```
f2_shift = I2.*Shift;
```

```
% FFT 变换
```

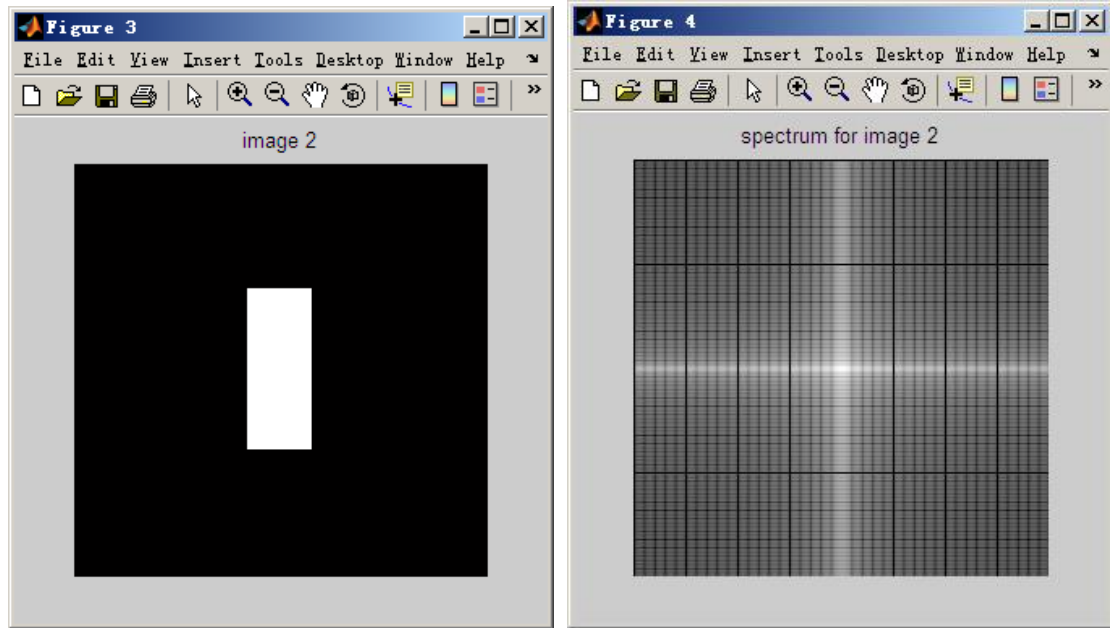
```
F2= log(abs(fft2(f2_shift)));
```

```
figure,imshow(F2,[]);title('spectrum for image 2');
```



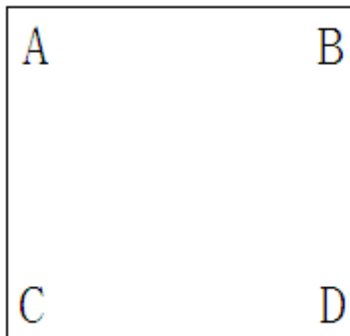
X 方向的信号短，u 方向的信号显得宽。

反过来，如下图。X 方向的信号长，u 方向的信号显得窄。

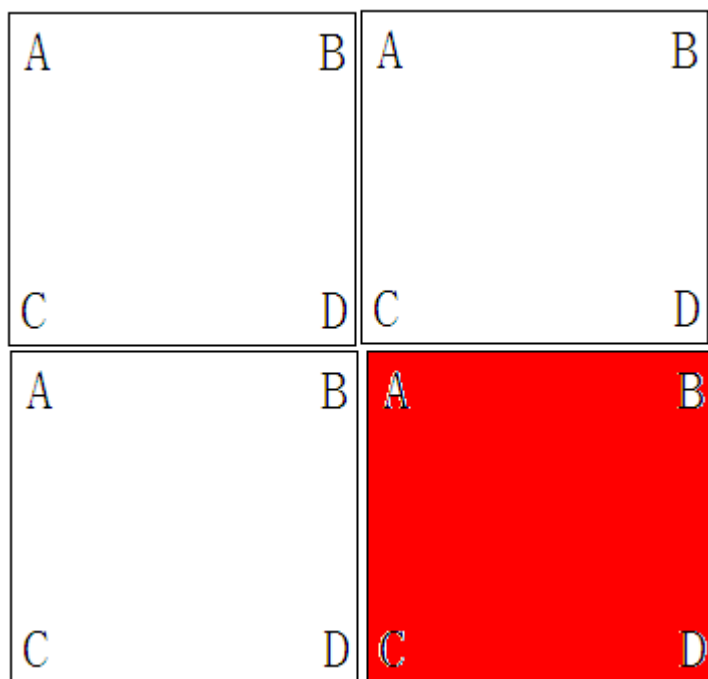


傅里叶变换，频谱中心移到图中心的理解

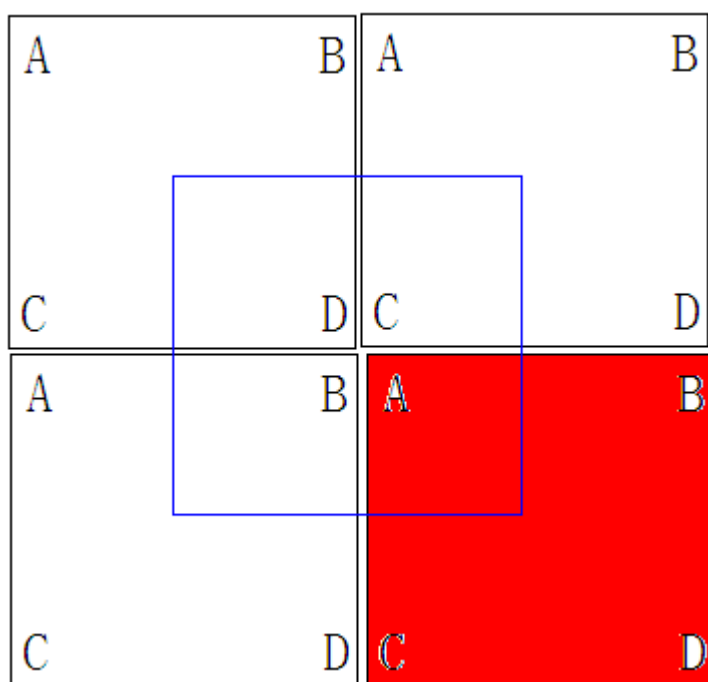
假设原始信号不平移，生成的 Fourier 级数如下图。用 A,B,C,D 表示四个角。



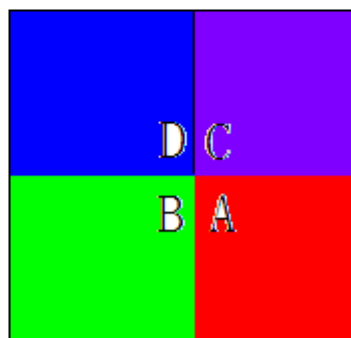
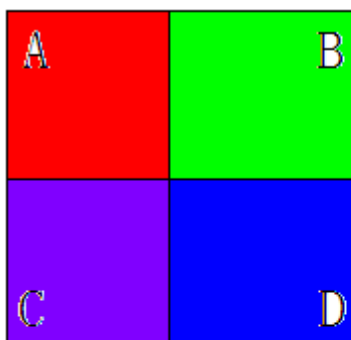
设下图中的红色块是 变换出的 Fourier 矩阵。根据周期性，将其向左，向上，向左上扩展。



取中心蓝色线条框住的块，即为平移后的结果。



以色块对比，说明是如何平移的。



平移的实现方法有 2 种。

一是先平移原始信号，再进行傅里叶变换。

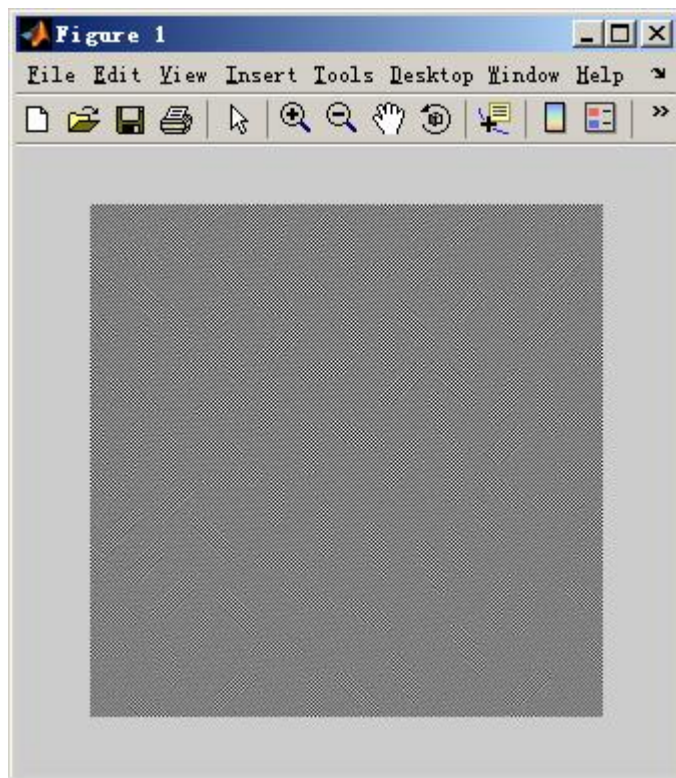
$$f_n(x, y) = f(x, y) * (-1)^{x+y} \quad F = \text{fft2}(f_n)$$

二是先变换，在平移：

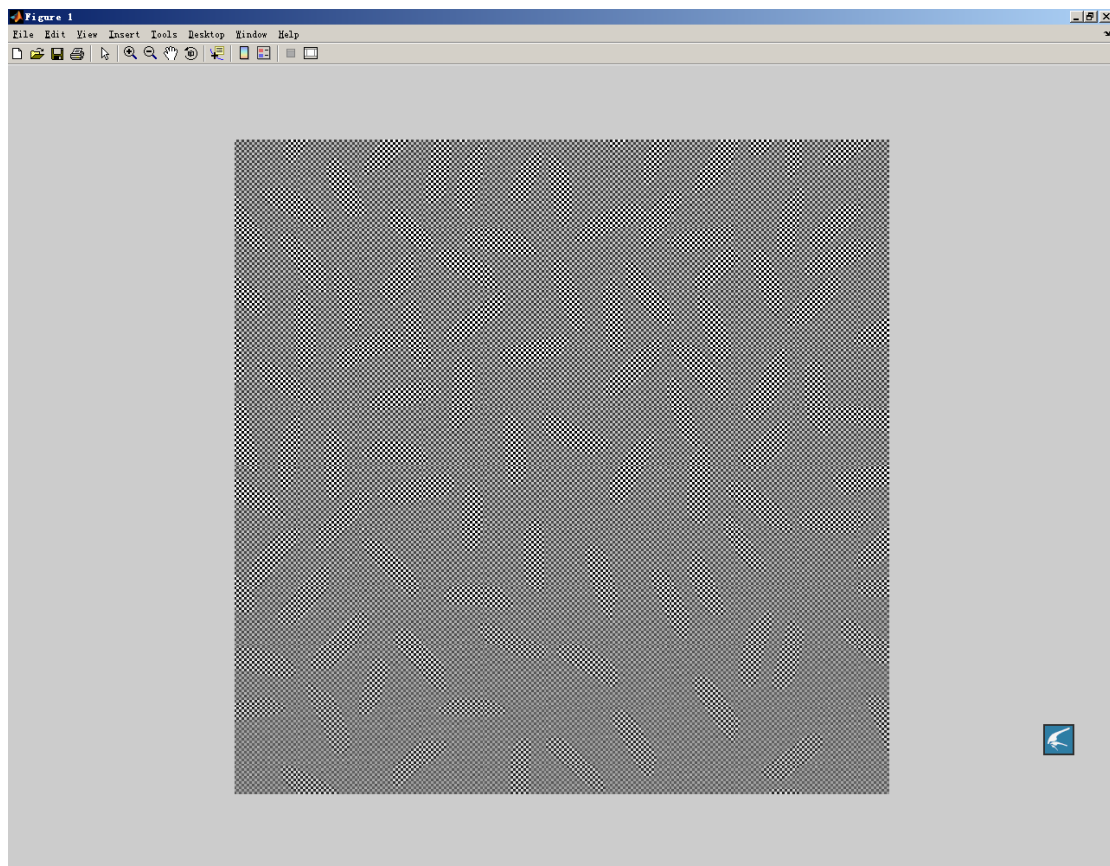
$$F = \text{fftshift}(\text{fft2}(f))$$

注意：此处的平移和传统概念中的平移有差别。

对于原图像的平移，是其原图像的像素值正负交替变化，如下图。（就像在图像上打了一个很密的黑色的网）（比原始图像要暗很多）



全屏观察如下。



频率域的基本性质 (P124)

每个 $F(u, v)$ 项包含了被指数项修正的 $f(x, y)$ 的所有值。因此，除了特殊情况，一般不可能建立图像特定分量和其变换之间的直接联系。然而，可以建立傅里叶变换的频率分量与图像空间特征（图像中强度变化模式）之间的联系。

变化最慢的频率成分对应图像的平均灰度。

低频对应着图像的慢变化分量。

高频对应图像越来越快的灰度级。

二维傅里叶变换的基函数的理解

$e^{j2\pi(ux/M + vy/N)}$ ，对于给定的 (u_0, v_0) ，

对应的函数为 $\cos(2\pi u_0 x / M + 2\pi v_0 y / N) + j \sin(2\pi u_0 x / M + 2\pi v_0 y / N)$

只考虑 $\cos(2\pi u_0 x / M + 2\pi v_0 y / N)$

对于某一给定的列而言（与 y 方向垂直）， y 值是确定的，因而可以将上式看成是 x 的一个函数，即 $\cos(2\pi u_0 x / M + \phi)$ 。由 x 取值为 $0 \dots M$ 知，这是在 x 方向出现 u_0 个周期的余弦函数。对任意一个给定的列而言，都是如此，只是列与列之间的初始相位不同。

换过来看，对任意一行， x 值是固定的，因而是行方向上出现 v_0 个周期的函数。给定 (u_0, v_0) ，就决定了函数的形态。 $F(u_0, v_0)$ 就是 f 函数在这一形态函数上的投影，即可反应这一形态上函数的变化程度。

```
Fourier_basic_f.m
% Fourier 基本函数

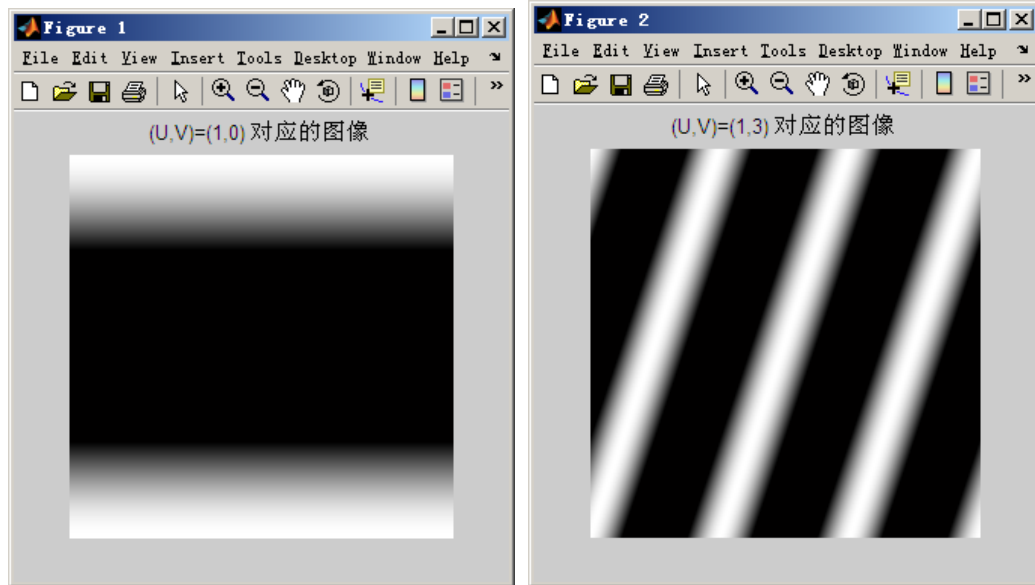
M=256;
N=256;
[y,x]=meshgrid(1:N,1:M);

% (U,V)=(1,0) 对应的图像
fb1=cos(2*pi*x/M);

figure,imshow(fb1),title('(U,V)=(1,0) 对应的图像');

% (U,V)=(1,3) 对应的图像
fb2=cos(2*pi*x/M+2*pi*3*y/N);

figure,imshow(fb2),title('(U,V)=(1,3) 对应的图像');
```



4.2.4 空间域滤波和频率域滤波之间的对应关系

假设源信号为单位脉冲信号，即只有一个点有非零值，而其他虽有点的值皆为 0。则其 Fourier 变换的结果是对所有的 (u,v) , $|F(u,v)|$ 都一样，只是相位角有差别。

下面用程序例证了 空域滤波与频率域滤波的等价性。

```
% fourier_conv_127.m
img = imread('rice.png');
figure(1),imshow(img),title('Original image');
[rows,cols]=size(img);
img=double(img);
F=fft2(img);
FT_show=log(abs(fftshift(F)));
figure,imshow(FT_show,[]);
% 先生成一个中心化函数 shift
% 注，grid 的顺序与 矩阵的行，列是反顺序的。
[y, x]=meshgrid(1:cols,1:rows);
shift=(-1).^(x+y);
% 用空域的滤波器 转到频率域处理
% fsize, 滤波器的大小 为 fsize * fsize
fsize=21;
win = fspecial('gaussian',fsize,2);
I_space_filte=uint8(imfilter(img,win));
figure,imshow(I_space_filte);title('after space filte');

% 将 win 中心化，即模板的中心应是原点？生成一个与原图像一样大的模板 h
h=zeros(rows,cols);
```

```

r_center=floor(rows/2);
c_center=floor(cols/2);
hlen=floor(fsize/2);
h(r_center-hlen+1:r_center-hlen+fsize,c_center-hlen+1:c_center-hlen+fsize)=win;

```

% 下面两种方法, 将 h 从时间域 变换到频域的 H 是相同的

```

% H=fft2(fftshift(h));
H=fft2(h).*shift;
F_E2=F.*H;
I2=uint8(iff2(F_E2));
figure,imshow(I2);title('after frequency filter');

```

% 说明: I2 与 I_space_filte 除了边界像素略有差别外, 其他是完全形同的。

%%%%%% 另外一种等价的方法

```

f_shift=fftshift(img);
F_C=fft2(f_shift);
H_C=fft2(h);
f_modify=iff2(F_C.*H_C);
I3=uint8(f_modify);
figure,imshow(I3);title('another filter method');

```

说明:

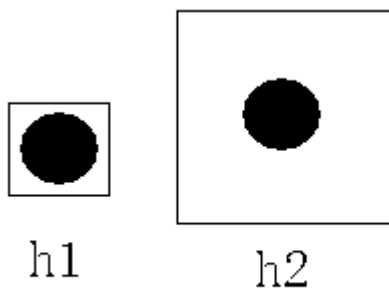
(1) 构造了一个空间域滤波器

由于滤波器的尺寸与图像的尺寸不同, 在频率域做点乘时, 大小不配。因而, 生成了一个新的模板: 将原来小尺寸的滤波器放在新模板的中心, 然后在其他地方都填写成 0。

另外, 可以直接用 `fspecial` 产生与原图大小一样的滤波器, 例如:

```
h = fspecial('gaussian',[rows cols],2);
```

此时的滤波器与产生一个小尺寸滤波器再补 0, 是非常接近的。对于 Gauss 型的滤波器, 关键是后面的参数 **Sigma**; 以及由于尺寸限制而产生的信号截断问题。由于远离中心的值都很小, 因此截断成 0, 产生的差别不大。



如图, 有 h1,h2 两个滤波器, 中心 (黑色部分) 是相同的, 其他(空白)元素值

为 0。用 h_1, h_2 进行滤波的结果是相同的。

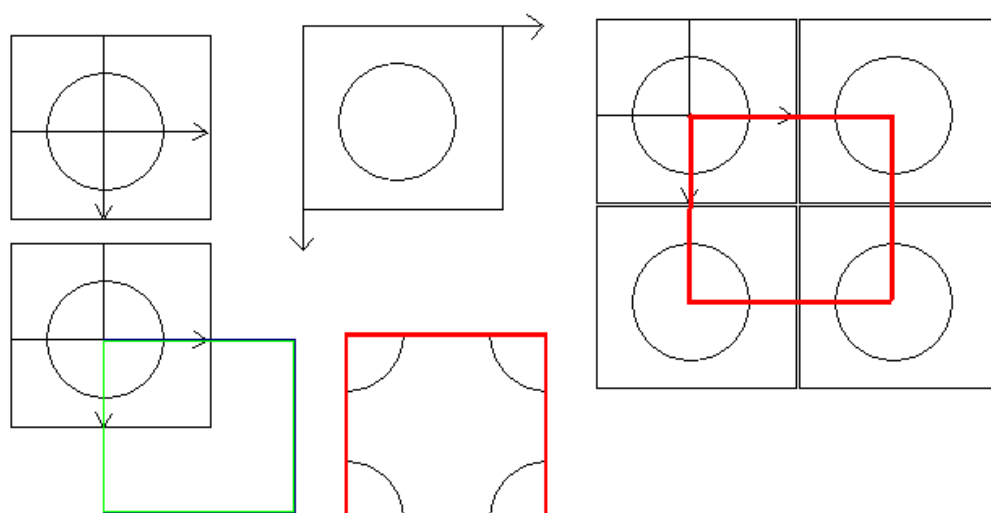
剖析：为什么理论上 $f(x, y) * h(x, y) \Leftrightarrow F(u, v)H(u, v)$

而实际计算 $\text{ifft2}(\text{fft2}(f) \cdot \text{fft2}(h))$ 时，结果产生了平移

在空间滤波中，认为 h 的中心是坐标原点，即 $h(0, 0)$ 处于中心位置，整个模板的范围是 $[-M/2, -N/2] - [M/2, N/2]$ 。

实际计算时， h 的坐标都是正的，其中心移到了 $[M/2, N/2]$ 处，模板的尺寸范围是 $[0, 0] - [M, N]$ 。

如下图所示，标准的滤波器坐标如最左边的图，希望的用正坐标表达的矩阵如绿色方框，绿色方框中的内容是什么呢？中间的小图我们实际计算时（FFT 变换）采用的模板。它与下面的小红框中的内容相差一个中心化！大图中的红框是从 $(0, 0)$ 点开始取一个周期，得到小红框图（此时的坐标就变成了正的），用小红框的矩阵就与原始的 h 的作用结果是等同的。



(2) 图像变换到频域

直接使用 $\text{fft2}(f)$ 即可。

(3) 模板转到频域

$$h \rightarrow H = \text{fft2}(\text{fftshift}(h));$$

(4) 频率反变换到空间域

细致的辨析：理论上， $f(x, y) * h(x, y) \Leftrightarrow F(u, v)H(u, v)$

证明：

$$\text{令： } g(x, y) = f(x, y) * h(x, y)$$

$$\begin{aligned} &= \sum_{m=0}^{M-1} \sum_{n=0}^{N-1} f(m, n) h(x-m, y-n) \\ G(u, v) &= \sum_{x=0}^{M-1} \sum_{y=0}^{N-1} g(x, y) e^{-j2\pi(ux/M + vy/N)} \\ &= \sum_{x=0}^{M-1} \sum_{y=0}^{N-1} \left\{ \sum_{m=0}^{M-1} \sum_{n=0}^{N-1} f(m, n) h(x-m, y-n) \right\} e^{-j2\pi(ux/M + vy/N)} \\ &= \sum_{x=0}^{M-1} \sum_{y=0}^{N-1} \left\{ \sum_{m=0}^{M-1} \sum_{n=0}^{N-1} f(m, n) h(x-m, y-n) e^{-j2\pi(ux/M + vy/N)} \right\} \\ &= \sum_{m=0}^{M-1} \sum_{n=0}^{N-1} f(m, n) \left\{ \sum_{x=0}^{M-1} \sum_{y=0}^{N-1} h(x-m, y-n) e^{-j2\pi(ux/M + vy/N)} \right\} \\ &= \sum_{m=0}^{M-1} \sum_{n=0}^{N-1} f(m, n) \{ H(u, v) e^{-j2\pi(um/M + vn/N)} \} \\ &= H(u, v) \sum_{m=0}^{M-1} \sum_{n=0}^{N-1} f(m, n) e^{-j2\pi(um/M + vn/N)} \\ &= H(u, v) F(u, v) \end{aligned}$$

缠绕问题：

直接用上述实践方法做出的结果与 `imfilter(I, h)`，在边界上有些差别。为什么？

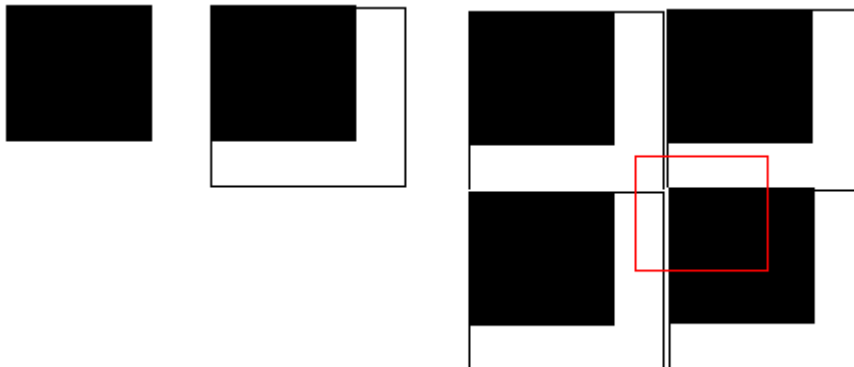
在上面的公式中，利用了：

$$f(x - x_0, y - y_0) \Leftrightarrow F(u, v) e^{-j2\pi(ux_0/M + vy_0/N)}$$

而：**f** 函数在平移时，在上面的计算公式中，是一种周期性的平移。因而其计算结果实际上等效于 `imfilter(I, h, 'circular')`。

如果要追求 `imfilter(I, h)`，即 **I** 的周围以 **0** 延拓。则在 **FFT** 变换前，要对图

像 I 延拓。(白色部分为补的 0，最后一个为对新图的周期延拓，等价于原图的补 0)



在 `imfilter` 中，有参数：`imfilter(I,h,'circular');`
 ‘circular’ 参数，即周期性延拓，其参数的结果与 FFT 变换相同。

实践操作：

$$fftshift(iff2(fft2(f).*fft2(h)))$$

正确的解法是：

`f=zeros(512,512);`

`f(1:256,1:256)=img;`

`h=zeros(512,512);`

`h(1:256,1:256)=fspecial('gaussian',256,2);`

`r = ifft2(fft2(f).*fft2(h));`

再从 `r` 中截取中间部分。`(uint8(r))`

实际上，任意尺寸的模版均是如此。例如

`h(1:21,1:21)=fspecial('gaussian',21,2);`同样可以得到正确的结果。

详细的说明 见 4.6.3 节。

理解 $(-1)^{(x+y)}$ 与 中心化

它们是成对出现。在变换的一边是 $(-1)^{(x+y)}$ ，另一边就是中心化。

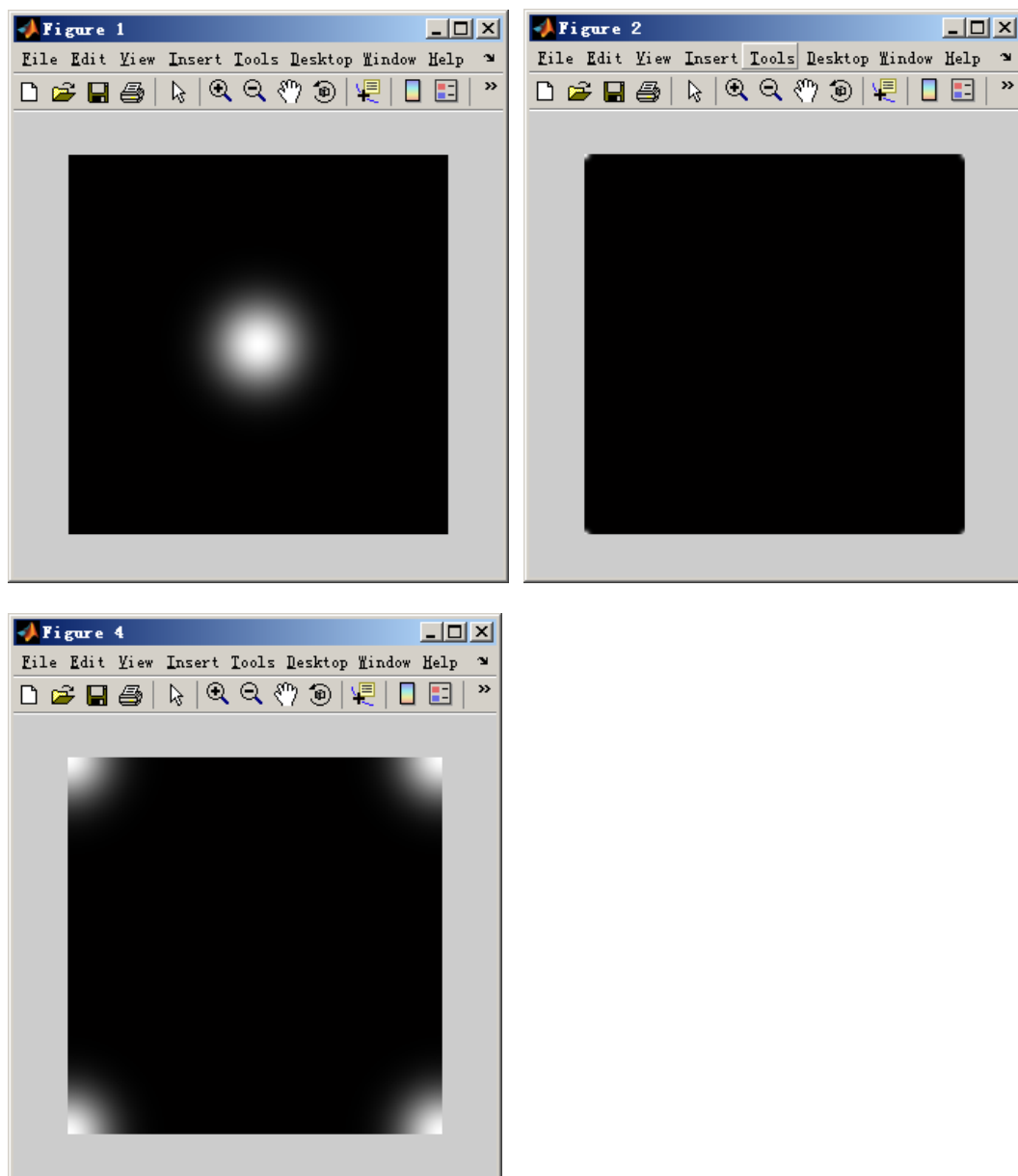
对于原始信号是否中心化,对应的 Fourier,, 只是是否在结果上乘 $(-1)^{(x+y)}$ 。

例如：

对于一幅图像 `f`，尽管 `f` 与 `fftshift(f)` 看起来有很大的不同，但是：

$$abs(fft2(f)) = abs(fft2(fftshift(f)))$$

直观上看，对于 `fftshift(f)` 进行 Fourier 变换，其能量仍然在低频分量上，`Fig1, Fig4` 都对应 `Fig2`。



直接在频率域构造的滤波器 与 空间域的滤波器

两者有很大的差别。

- (1) 直接构造的频率滤波器，是一个实函数。而空域滤波器转到频域中的函数，变成了复数形式。
- (2) 直接构造的频率滤波器，一般是一个正函数，特别是低通滤波器。
- (3) 从空域滤波器转到频域中的函数一般会出现正负交替，因而一般要乘以 $(-1)^{(u+v)}$ 。
- (4) 低通滤波器，一般的中心值为 1。而对于空域的平滑滤波器，系数之和为 1。
- (5) 对于频域的滤波器，反变换到空间域上，会成为一个复数形式，并不能用一个实函数刻画出来。

```
[v,u]=meshgrid(-127:128,-127:128);
```

```
H=exp((-u.*u-v.*v)/1800);
```



```
h=ifft2(H);
```

原始信号的平移:

信号的平移，并不能改变各频率分量，但是对于某一个频率而言的信号，其相位会发生变化，这会引起复数的实部和虚部都发生变化，如 $(\cos \theta, \sin \theta)$

信号的平移，是一种周期性的平移，而不是把一部分丢去，而另一部分补0；而是需要周期性扩展的（首尾相连）。卷积中产生缠绕也来源于周期性延拓。

傅里叶变换的一些性质和应用

参见《实用小波方法》，徐长发

% 在一幅图像 (I) 上，扣出一个小块 (J);
% 现要找出 J 出现在 I 的何位置

```
I=imread('rice.png');  
J=I(24:68,35:100);  
I=double(I);  
K=double(zeros(256,256));  
K(1:45,1:66)=J;  
L=ifft2(fft2(I).*conj(fft2(K)));  
[x y]=find(L==max(L(:)));
```

```
也可以: L=fft2(I).*conj(fft2(K));  
L=L./abs(L);  
H=ifft2(L);  
[x y]=find(H==max(H(:)));  
问题: 为何归一化后, 对求最大值的位置无影响?
```

实验:

- (1) 傅里叶变换后，对幅度谱加噪，然后重建图像，结果如何？
(基本保留原图信息)
- (2) 对相位谱加噪，然后重建图像，结果如何？
(图像被破坏)
- (3) 基于相位一致性的边缘检测？（不同周期分量在边缘处有相同的相位？）

(4) PFT(Phase spectrum of Fourier Transform) : 基于相位谱的显著图获取方法。只保留相位(将整幅均归一化为1), 然后反变换

(5) PQFT (Phase spectrum of Quaternion Fourier Transform) 基于相位谱的四元素。。。

8、测量图像的平移距离

```
%  
% 图像平移, 其对应的傅里叶变换有相互关系, 是一个周期函数  
% 相互关系的反傅里叶变换, 表现为单点值很大, 对应的位移点  
I=imread('cameraman.tif');  
I=im2double(I);  
F1=fft2(I);  
J=circshift(I,[5 10]);  
F2=fft2(J);  
[v,u]=meshgrid(0:255,0:255);  
S=exp(-j*2*pi*(u*5+v*10)/256);  
Z=F1.*S; % Z 与 F2 很接近  
SF=F2./F1;  
Shift=ifft2(SF);  
figure,imshow(abs(Shift));
```